

Vendredi 06/06/08

Projet de Modélisation



DAMBRE Damien
GREJON Thomas
REMESY Romain

Sommaire

I - Préparation à la résolution du problème

1. Présentation du problème
2. Hypothèses de résolution
3. Description de l'effort
4. Propriété de la transformation et conséquences
5. Calcul des dérivées objectives :

II - Résolution du problème

1. Comportement hypoélastique :

$$\eta = +\infty$$

$$\eta \in]0, +\infty[$$

III - Comportement viscoélastique :

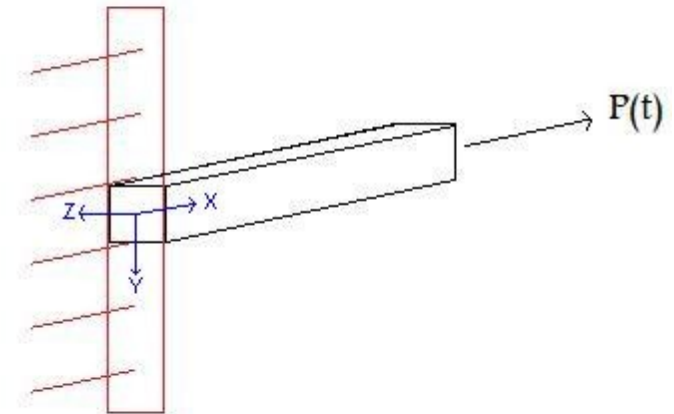
- Module d'élasticité : $E > 0$
- Coefficient de Poisson : $\nu \in [0, \frac{1}{2}]$
 $\eta \in \{\mathbb{R}_+^* \cup \{+\infty\}\}$
- Viscosité :
- Longueur : $l(t)$
- Section rectangulaire : $s(t)$
- Poutre en liaison encastrement sur sa section gauche
- Effort de traction simple selon la direction horizontale x

- On se propose d'étudier sa déformée longitudinale ($l(t)$) et de trouver la force soumise à la section droite selon deux comportements de la poutre : hypoélastique ($\eta = +\infty$) et viscoélastique ($\eta \in]0, +\infty[$).

- Problème traité pour trois dérivées objectives différentes du champ des contraintes : Jaumann, Truesdell et Cotter-Rivlin.

1. Présentation du problème

poutre viscoélastique



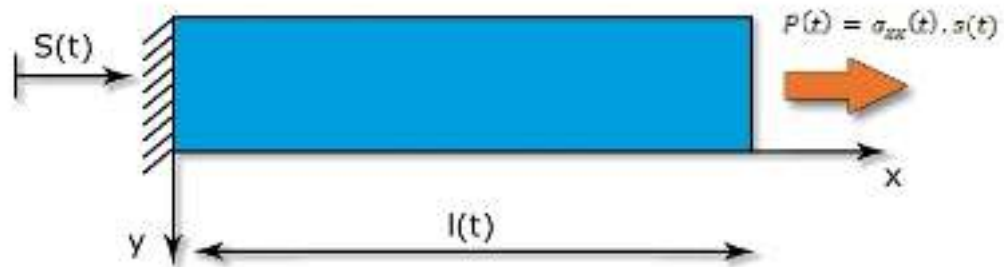
2. Hypothèses de résolution

- Les transformations sont finies et quasi-statiques.
- Les actions mécaniques à distance sont nulles.
- Le matériau déformable constituant la poutre est homogène et son comportement est régi par la relation :

$$D = -\frac{\nu}{E} \text{tr}(\dot{\sigma}^{obj}) \cdot \delta + \frac{1+\nu}{E} \dot{\sigma}^{obj} - \frac{\nu}{\eta} \text{tr}(\sigma) \cdot \delta + \frac{1+\nu}{\eta} \sigma$$

3. Description de l'effort

- Longueur initiale : l_0 .
- Aire initiale : s_0
- $l(t)$ et $s(t)$ à l'instant t .



- Effort de traction : $P(t)$ et on considère $P(0)=0$

- Pas de déplacement à la base : $s(0)=s_0$

$$P(t) = \sigma_{xx}(t) \cdot s(t) \rightarrow \sigma_{xx}(t) = \frac{P(t)}{s(t)}$$

- $P(t)$ est la seule force :

$$\sigma = \begin{bmatrix} \sigma_{xx}(t) & 0 & 0 \\ 0 & 0 & 0 \\ 0 & 0 & 0 \end{bmatrix} = \begin{bmatrix} \sigma(t) & 0 & 0 \\ 0 & 0 & 0 \\ 0 & 0 & 0 \end{bmatrix} \quad \sigma(t) = \frac{P(t)}{s(t)}$$

- Donc et de ce fait

4. Propriété de la transformation et conséquences

- Tenseur des transformations linéaires tangentes F identifié à sa transformation linéaire tangente.
- $t=0$ comme référence
- Le tenseur F est diagonal
- Transformation de la forme :

$$\begin{aligned}x &= f_x(t) \cdot X \\y &= f_y(t) \cdot Y \\z &= f_z(t) \cdot Z\end{aligned}$$

- D'après la géométrie de la poutre :
donc :
$$s(t) = y_0 f_y(t) \cdot z_0 f_z(t) = s_0 f_y^2(t)$$
- On remarque aussi que :

$$f_z = f_y$$

- La transformation étant quasi-statique, on a F inversible et : $f_x(t) \neq 0$ et $f_y(t) \neq 0$.

- On a alors :

$$\vec{v}(x, y, z, t) = \begin{bmatrix} x'(t) \\ y'(t) \\ z'(t) \end{bmatrix} = \begin{bmatrix} f_x'(t) \cdot X \\ f_y'(t) \cdot Y \\ f_y'(t) \cdot Z \end{bmatrix} = \begin{bmatrix} \frac{f_x'(t) \cdot x}{f_x(t)} \\ \frac{f_y'(t) \cdot y}{f_y(t)} \\ \frac{f_y'(t) \cdot z}{f_y(t)} \end{bmatrix}$$

- On en déduit :

$$G = \text{grad}_x \vec{v}(x, y, z, t) = \begin{bmatrix} \frac{f_x'(t)}{f_x(t)} & 0 & 0 \\ 0 & \frac{f_y'(t)}{f_y(t)} & 0 \\ 0 & 0 & \frac{f_y'(t)}{f_y(t)} \end{bmatrix}$$

$$D = \text{sym}(G) = G$$

$$W = \text{antisym}(G) = [0]$$

5. Calcul des dérivées objectives

- Dérivée de Jaumann :

$$\check{\sigma} = \dot{\sigma} + \sigma \cdot W - W \cdot \sigma = \dot{\sigma} = \begin{bmatrix} \dot{\sigma}(t) & 0 & 0 \\ 0 & 0 & 0 \\ 0 & 0 & 0 \end{bmatrix} = \begin{bmatrix} \frac{P'(t) \cdot s(t) - P(t) \cdot s'(t)}{s^2(t)} & 0 & 0 \\ 0 & 0 & 0 \\ 0 & 0 & 0 \end{bmatrix}$$

- Dérivée de Truesdell :

$$\check{\sigma} = \dot{\sigma} - G \cdot \sigma - \sigma \cdot {}^tG + \sigma \cdot \text{div}_x \left(\vec{v}(x, y, z, t) \right) = \dot{\sigma} - 2G \cdot \sigma + \sigma \cdot \text{div}_x \left(\vec{v}(x, y, z, t) \right)$$

$$\text{div}_x \left(\vec{v}(x, y, z, t) \right) = \text{tr}G = \frac{f'_x(t)}{f_x(t)} + 2 \frac{f'_y(t)}{f_y(t)}$$

$$\check{\sigma} = \begin{bmatrix} \frac{P'(t) \cdot s(t) - P(t) \cdot s'(t)}{s^2(t)} - \frac{f'_x(t)}{f_x(t)} \frac{P(t)}{s(t)} + 2 \frac{P(t)}{s(t)} \frac{f'_y(t)}{f_y(t)} & 0 & 0 \\ 0 & 0 & 0 \\ 0 & 0 & 0 \end{bmatrix}$$

- Dérivée de Cotter-Rivling :

$$\hat{\sigma} = \dot{\sigma} + G \cdot \sigma + \sigma \cdot {}^tG = \dot{\sigma} + 2G \cdot \sigma = \begin{bmatrix} \frac{P'(t) \cdot s(t) - P(t) \cdot s'(t)}{s^2(t)} + 2 \frac{f'_x(t)}{f_x(t)} \frac{P(t)}{s(t)} & 0 & 0 \\ 0 & 0 & 0 \\ 0 & 0 & 0 \end{bmatrix}$$

- II - Résolution du problème
 1. Comportement hypoélastique :

$$\eta = +\infty$$

Du fait que : $\eta = +\infty$ on peut simplifier directement la relation de D :

$$D = -\frac{\nu}{E} \text{tr}(\dot{\sigma}^{obj}) \cdot \delta + \frac{1+\nu}{E} \dot{\sigma}^{obj}$$

❖ Dérivée de Jaumann

$$\begin{bmatrix} \frac{f'_x(t)}{f_x(t)} & 0 & 0 \\ 0 & \frac{f'_y(t)}{f_y(t)} & 0 \\ 0 & 0 & \frac{f'_y(t)}{f_y(t)} \end{bmatrix} = -\frac{\nu}{E} \text{tr} \begin{bmatrix} \frac{P'(t) \cdot s(t) - P(t) \cdot s'(t)}{s^2(t)} & 0 & 0 \\ 0 & 0 & 0 \\ 0 & 0 & 0 \end{bmatrix} \cdot \delta + \frac{1+\nu}{E} \begin{bmatrix} \frac{P'(t) \cdot s(t) - P(t) \cdot s'(t)}{s^2(t)} & 0 & 0 \\ 0 & 0 & 0 \\ 0 & 0 & 0 \end{bmatrix}$$

Il faut distinguer deux cas : $f_y(t) = K_y e^t = e^t$ et $f_x(t) = K_x e^{\frac{P(t)}{E \cdot s(t)}} = e^{\frac{P(t)}{E \cdot s_0 \cdot f_y^2(t)}}$ d'après C.I.

$$1 \quad \nu \neq 0 \rightarrow f_y(t) = f_x(t)^{-\nu} \quad f_y(t) = f_x(t)^{-\nu} \quad f_x(t) = e^{\frac{P(t)}{E \cdot s(t)}} = e^{\frac{P(t)}{E \cdot s_0 \cdot f_y^2(t)}}$$

2 et

➤ Pilotage en force

On connaît la force de traction appliqué à la poutre et on cherche $f(t)$.

On réarrange l'équation :

$$\frac{P(t)}{E \cdot s_0} = \ln(f_x(t)) \cdot e^{-2v \ln(f_x(t))}$$

Et on intègre par rapport à v :

$$\frac{P(t)}{E \cdot s_0} \cdot v + K_v = -\frac{1}{2} \cdot e^{-2v \ln(f_x(t))} \rightarrow f_x(t) = (K_v + -2v \frac{P(t)}{E \cdot s_0})^{-2v} = (1 - 2v \frac{P(t)}{E \cdot s_0})^{-\frac{1}{2v}}$$

➤ Pilotage en déplacement

On connaît le déplacement longitudinal que subit la poutre et on cherche $P(t)$

$$v \neq 0$$

On a :

$$f_x(t) = e^{\frac{P(t) f_x^{2v}(t)}{E \cdot s_0}} \rightarrow P(t) = \frac{E \cdot s_0}{f_x^{2v}(t)} \ln(f_x(t))$$

Donc :

❖ Dérivée de Truesdell

$$* \frac{f_y'(t)}{f_y(t)} = -\frac{\nu}{E} \left(\frac{P'(t) \cdot s(t) - P(t) \cdot s'(t)}{s^2(t)} - \frac{f_x'(t) P(t)}{f_x(t) s(t)} + 2 \frac{P(t) f_y'(t)}{s(t) f_y(t)} \right)$$

$$\begin{aligned} \frac{f_x'(t)}{f_x(t)} &= \frac{1}{E} \left(\frac{P'(t) \cdot s(t) - P(t) \cdot s'(t)}{s^2(t)} - \frac{f_x'(t) P(t)}{f_x(t) s(t)} + 2 \frac{P(t) f_y'(t)}{s(t) f_y(t)} \right) \\ &= \frac{1}{E} \left(\frac{P'(t) \cdot s(t) - P(t) \cdot s'(t)}{s^2(t)} - \frac{f_x'(t) P(t)}{f_x(t) s(t)} - 2\nu \frac{P(t) f_x'(t)}{s(t) f_x(t)} \right) \end{aligned}$$

On a : $\frac{f_x'(t)}{f_x(t)} = \frac{1}{E} \left(\sigma'(t) - \sigma(t) \frac{f_x'(t)}{f_x(t)} (1 + 2\nu) \right)$ et $f_x(t) = K \cdot f_y(t)^{-\nu} = f_y(t)^{-\nu}$ d'après les C.I.

➤ Pilotage en déplacement

solution évidente de l'équation :

$$\sigma_1(t) = -\frac{E}{1+2\nu}$$

$$\sigma_0(t) = K \cdot f_x(t)^{1+2\nu}$$

Après résolution de l'équation homogène on a :

$$\sigma(t) = \sigma_1(t) + \sigma_0(t) = -\frac{E}{1+2\nu} + K \cdot f_x(t)^{1+2\nu}$$

La solution générale est donc $\sigma(t) = \frac{E}{1+2\nu} (f_x(t)^{1+2\nu} - 1)$

Et d'après les C.I. :

$$P(t) = \sigma(t) \cdot s(t) = \sigma(t) \cdot s_0 f_y^2(t) = \sigma(t) s_0 f_x(t)^{-2\nu} = \frac{E}{1+2\nu} (f_x(t) - f_x(t)^{-2\nu})$$

❖ Dérivée de Cotter-Rivling

$$* \frac{f'_y(t)}{f_y(t)} = -\frac{\nu}{E} \left(\frac{P'(t) \cdot s(t) - P(t) \cdot s'(t)}{s^2(t)} + 2 \frac{f'_x(t)}{f_x(t)} \frac{P(t)}{s(t)} \right)$$

$$\frac{f'_x(t)}{f_x(t)} = \frac{1}{E} \left(\frac{P'(t) \cdot s(t) - P(t) \cdot s'(t)}{s^2(t)} + 2 \frac{f'_x(t)}{f_x(t)} \frac{P(t)}{s(t)} \right)$$

On a : $\frac{f'_x(t)}{f_x(t)} = \frac{1}{E} \left(\sigma'(t) + 2\sigma(t) \frac{f'_x(t)}{f_x(t)} \right)$ et $f_x(t) = K \cdot f_y(t)^{-\nu} = f_y(t)^{-\nu}$ d'après les C.I.

➤ Essai piloté en déplacement

Solution évidente de l'équation : $\sigma_1(t) = \frac{E}{2}$

Après résolution de l'équation homogène on a : $\sigma_0(t) = K \cdot f_x(t)^{-2}$

La solution générale est donc : $\sigma(t) = \sigma_1(t) + \sigma_0(t) = \frac{E}{2} + K \cdot f_x(t)^{-2}$

Et d'après les C.I. : $\sigma(t) = \frac{E}{2} (1 - f_x(t)^{-2})$

$$P(t) = \sigma(t) \cdot s(t) = \sigma(t) \cdot s_0 f_y^2(t) = \sigma(t) s_0 f_x(t)^{-2\nu} = \frac{E s_0}{2} (f_x(t)^{-2\nu} - f_x(t)^{-2(1+\nu)})$$

2. Comportement viscoélastique : $\eta \in]0, +\infty[$

On reprend l'équation : $D = -\frac{\nu}{E} \text{tr}(\dot{\sigma}^{obj}) \cdot \delta + \frac{1+\nu}{E} \dot{\sigma}^{obj} - \frac{\nu}{\eta} \text{tr}(\sigma) \cdot \delta + \frac{1+\nu}{\eta} \sigma$

On connaît $f_x(t)$ on cherche P(t).

❖ Dérivée de Jaumann

On part de : $\left. \begin{aligned} \frac{f_x(t)}{f_x(t)} &= \frac{(P'(t) \cdot s(t) - P(t) \cdot s'(t))}{E \cdot s^2(t)} + \frac{P(t)}{\eta \cdot s(t)} \\ \frac{f_y'(t)}{f_y(t)} &= -\nu \cdot \frac{f_x'(t)}{f_x(t)} \end{aligned} \right\} \text{après simplification.}$

En remplaçant s(t) dans l'équation on trouve : $\frac{E \cdot s_0 \cdot f_x'(t)}{f_x(t)^{1+2\nu}} = P'(t) + P(t) \cdot \left(\frac{E}{\eta} + 2 \cdot \nu \cdot \frac{f_x'(t)}{f_x(t)} \right)$

D'où $P'(t) = -P(t) \cdot \left(\frac{E}{\eta} + \frac{2 \cdot \nu \cdot f_x'(t)}{f_x(t)} \right) + \frac{E \cdot s_0 \cdot f_x'(t)}{f_x(t)^{1+2\nu}}$

Pour rejoindre le schéma d'Euler on pose $L(P,t) = -P \cdot \left(\frac{E}{\eta} + 2\nu \frac{f_x'(t)}{f_x(t)} \right) + \frac{E \cdot s_0 \cdot f_x'(t)}{f_x(t)^{1+2\nu}}$

Par conséquent on obtient le schéma suivant : $P_{i+1} = P_i + h \cdot \left(-P_i \cdot \left(\frac{E}{\eta} + \frac{2 \cdot \nu \cdot f_x'(t)}{f_x(t)} \right) + \frac{E \cdot s_0 \cdot f_x'(t)}{f_x(t)^{1+2\nu}} \right)$

❖ Dérivée de Truesdell

On part de :

$$\left| \begin{array}{l} \frac{f_x'(t)}{f_x(t)} = \frac{(P'(t).s(t) - P(t).s'(t))}{E.s^2(t)} + \frac{P(t)}{s(t)} \cdot \left(2 \cdot \frac{f_y'(t)}{f_y(t)} - \frac{f_x'(t)}{f_x(t)} \right) + \frac{P(t)}{\eta.s(t)} \\ \frac{f_y'(t)}{f_y(t)} = -\nu \frac{f_x'(t)}{f_x(t)} \end{array} \right|$$

En remplaçant $s(t)$ dans l'équation on trouve : $\frac{E.s_0.f_x'(t)}{f_x(t)^{1+2\nu}} = P'(t) + P(t) \cdot \left(\frac{E}{\eta} - \frac{f_x'(t)}{f_x(t)} \right)$

D'où $P'(t) = -P(t) \left(\frac{E}{\eta} - \frac{f_x'(t)}{f_x(t)} \right) E.s_0 \cdot \frac{f_x'(t)}{f_x(t)^{1+2\nu}} +$

Par conséquent on obtient le schéma suivant : $P_{i+1} = P_i + h \cdot \left(-P_i \cdot \left(\frac{E}{\eta} - \frac{1}{(1+i.h)} \right) + \frac{E.s_0}{(1+i.h)^{1+2\nu}} \right)$

❖ Dérivée de Cotter-Rivlin

On part de :

$$\left| \begin{array}{l} \frac{f_x'(t)}{f_x(t)} = \frac{(P'(t).s(t) - P(t).s'(t))}{E.s^2(t)} + 2 \cdot \frac{P(t)}{s(t)} \cdot \frac{f_x'(t)}{f_x(t)} + \frac{P(t)}{\eta.s(t)} \\ \frac{f_y'(t)}{f_y(t)} = -\nu \frac{f_x'(t)}{f_x(t)} \end{array} \right|$$

En remplaçant $s(t)$ dans l'équation on trouve : $E.s_0 \frac{f_x'(t)}{f_x(t)^{1+2\nu}} = P'(t) + P(t) \cdot \left(\frac{E}{\eta} + 2 \cdot (1 + \nu) \cdot \frac{f_x'(t)}{f_x(t)} \right)$

Par conséquent on obtient le schéma suivant : $P_{i+1} = P_i + h \cdot \left(-P_i \cdot \left(\frac{E}{\eta} + 2 \cdot (1 + \nu) \cdot \frac{1}{(1+i.h)} \right) + \frac{E.s_0}{(1+i.h)^{1+2\nu}} \right)$

Conclusion

- ?